

ЛЕННИНГРАДСКИЙ ОРДЕНА ТРУДОВОГО КРАСНОГО ЗНАМЕНИ
СЕЛЬСКОХОЗЯЙСТВЕННЫЙ ИНСТИТУТ

275

Кафедра теоретической и общей электротехники

ТЕОРЕТИЧЕСКИЕ ОСНОВЫ ЭЛЕКТРОТЕХНИКИ

Индивидуальные задания и методические указания к
лабораторно-практическим занятиям

МОДУЛЬ 8. ПЕРИОДИЧЕСКИЕ НЕСИНУСОИДАЛЬНЫЕ ТОКИ
В ЛИНЕЙНЫХ ЭЛЕКТРИЧЕСКИХ ЦЕПЯХ

Составители: канд. техн. наук,
доценты Ф.Д.Косоухов, В.Ф.Петров

Ленинград
1990

ВОПРОСЫ ТЕОРЕТИЧЕСКОЙ ЧАСТИ МОДУЛЯ

- I. Причины возникновения несинусоидальных токов и напряжений в электрических цепях.
 2. Разложение периодических несинусоидальных токов и напряжений в ряд Фурье.
 3. Свойства периодических кривых токов и напряжений, обладающих симметрией относительно оси абсцисс, или оси ординат, или начала координат.
 4. Действующие значения несинусоидальных токов и напряжений.
 5. Мощность электрической цепи при периодических несинусоидальных токах и напряжениях.
 6. Метод расчета линейной электрической цепи при несинусоидальных токах и напряжениях.
 7. Влияние параметров электрической цепи на форму кривой тока и напряжения.
 8. Резонанс при несинусоидальных токах и напряжениях.
 9. Резонансные электрические фильтры.
 10. Высшие гармоники в трехфазных электрических цепях.
- II. Особенности работы трехфазных цепей, вызываемые гармониками, кратными трем.

ТИПОВЫЕ ЗАДАЧИ И ПРИМЕРЫ РЕШЕНИЯ

Задача I. Дано: параметры цепи (рис. I): $R = 6 \Omega$;

$$L = 6,37 \text{ мГн};$$

$$C = 176,93 \text{ мкФ}.$$

К входным зажимам цепи подведено несинусоидальное напряжение, заданное в виде следующего ряда Фурье:

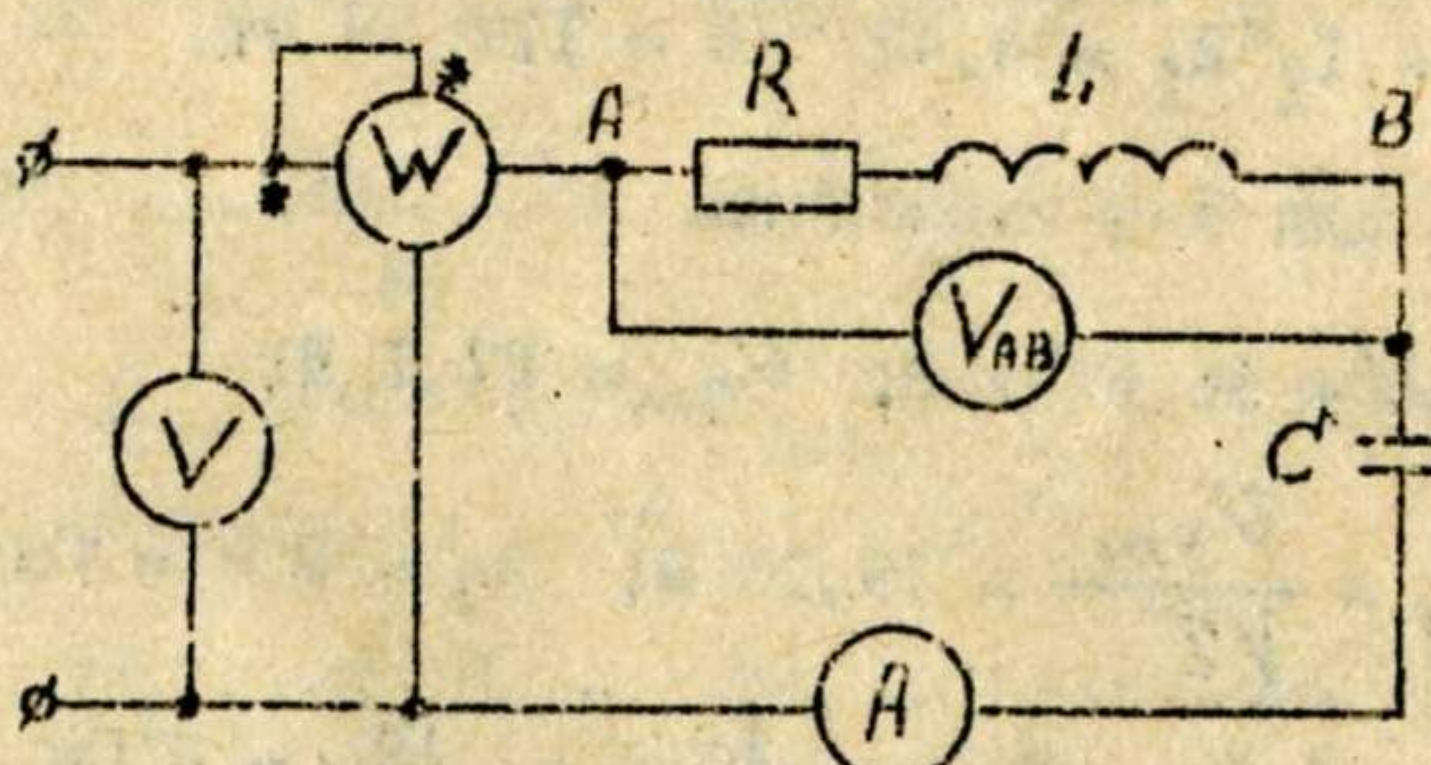


Рис. I.

$$\begin{aligned} u = & 107 \sin(\omega t - 13,33^\circ) + 27,1 \sin(3\omega t + 56,67^\circ) + \\ & + 7,51 \sin(5\omega t - 131^\circ) \text{ В.} \end{aligned}$$

Частота основной гармоники $f = 50 \text{ Гц}$.

Определить показание приборов, указанных на схеме (рис. I).

I), и построить кривые входного напряжения и тока цепи как функции времени.

Решение:

1) Расчет цепи для 1-й гармоники.

$$U_1 = 107 \sin(\omega t - 13,33^\circ) \text{ В}; U_{1m} = 107 \text{ В}; \Psi_{1u} = -13,33^\circ.$$

$$U_1 = \frac{U_{1m}}{\sqrt{2}} = 75,66 \text{ В}; R_1 = R = 6 \Omega; X_{1L} = \omega L = 2\pi f \cdot L =$$

$$= 314 \cdot 6,37 \cdot 10^{-3} = 2 \Omega; X_{1C} = \frac{1}{\omega C} = \frac{1}{314 \cdot 176,93 \cdot 10^{-6}} =$$

$$= 18 \Omega.$$

$$Z_1 = \sqrt{R_1^2 + (X_{1L} - X_{1C})^2} = \sqrt{6^2 + (2 - 18)^2} = 17,09 \Omega;$$

$$Z_{1AB} = \sqrt{R_1^2 + X_{1L}^2} = \sqrt{6^2 + 2^2} = 6,32 \Omega;$$

$$I_{1m} = \frac{U_{1m}}{Z_1} = \frac{107}{17,09} = 6,26 \text{ А}; I_1 = \frac{I_{1m}}{\sqrt{2}} = 4,427 \text{ А};$$

$$U_{1AB} = I_1 Z_{1AB} = 4,427 \cdot 6,32 = 27,98 \text{ В};$$

$$\operatorname{tg} \varphi_1 = \frac{X_{1L} - X_{1C}}{R_1} = \frac{2 - 18}{6} = -2,67; \Psi_1 = -69,44^\circ;$$

$$i_1 = I_{1m} \sin(\omega t + \Psi_{1u} - \varphi_1) = 6,26 \sin(\omega t - 13,33^\circ + 69,44^\circ) = 6,26 \sin(\omega t + 56,11^\circ) \text{ А.}$$

$$P_1 = U_{1m} I_1 \cos \varphi_1 = I_1^2 R_1 = 4,427^2 \cdot 6 = 117,59 \text{ Вт.}$$

2) Расчет цепи для 3-й гармоники.

$$U_3 = 27,1 \sin(3\omega t + 56,67^\circ) \text{ В}; U_{3m} = 27,1 \text{ В};$$

$$\Psi_{3u} = 56,67^\circ; U_3 = \frac{U_{3m}}{\sqrt{2}} = 19,56 \text{ В}; R_3 = R = 6 \Omega;$$

$$X_{3L} = 3\omega L = 3 \cdot 2 = 6 \Omega; X_{3C} = \frac{1}{3\omega C} = \frac{18}{3} = 6 \Omega.$$

В цепи резонанс напряжений для 3-й гармоники, так как $X_{3L} = X_{3C}$.

$$Z_3 = \sqrt{R_3^2 + (X_{3L} - X_{3C})^2} = R_3 = 6 \Omega;$$

$$Z_{3AB} = \sqrt{R_3^2 + X_{3L}^2} = \sqrt{6^2 + 6^2} = 8,465 \Omega;$$

2

$$I_{3m} = \frac{U_{3m}}{Z_3} = \frac{27,1}{6} = 4,517 \text{ А}; I_3 = \frac{I_{3m}}{\sqrt{2}} = 3,194 \text{ А};$$

$$U_{3AB} = I_3 Z_{3AB} = 3,194 \cdot 8,465 = 27,1 \text{ В};$$

$$\operatorname{tg} \varphi_3 = \frac{X_{3L} - X_{3C}}{R_3} = \frac{6 - 6}{6} = 0; \varphi_3 = 0.$$

$$i_3 = I_{3m} \sin(3\omega t + \Psi_{3u} - \varphi_3) = 4,517 \sin(3\omega t + 56,67^\circ) \text{ А.}$$

$$P_3 = U_3 I_3 \cos \varphi_3 = I_3^2 R_3 = 3,194^2 \cdot 6 = 61,21 \text{ Вт.}$$

3) Расчет цепи для 5-й гармоники.

$$U_5 = 7,51 \sin(5\omega t - 131^\circ) \text{ В}; U_{5m} = 7,51 \text{ В}; \Psi_{5u} = -131^\circ;$$

$$U_5 = \frac{U_{5m}}{\sqrt{2}} = 5,31 \text{ В}; R_5 = R = 6 \Omega; X_{5L} = 5\omega L = 5 \cdot 2 =$$

$$= 10 \Omega; X_{5C} = \frac{1}{5\omega C} = \frac{18}{5} = 3,6 \Omega;$$

$$Z_5 = \sqrt{R_5^2 + (X_{5L} - X_{5C})^2} = \sqrt{6^2 + (10 - 3,6)^2} = 8,773 \Omega;$$

$$Z_{5AB} = \sqrt{R_5^2 + X_5^2} = \sqrt{6^2 + 10^2} = 11,66 \Omega;$$

$$I_{5m} = \frac{U_{5m}}{Z_5} = \frac{7,51}{8,773} = 0,856 \text{ А}; I_5 = \frac{I_{5m}}{\sqrt{2}} = 0,605 \text{ А};$$

$$U_{5AB} = I_5 Z_{5AB} = 0,605 \cdot 11,66 = 7,058 \text{ В};$$

$$\operatorname{tg} \varphi_5 = \frac{X_{5L} - X_{5C}}{R_5} = \frac{10 - 3,6}{6} = 1,067; \varphi_5 = 46,85^\circ.$$

$$i_5 = I_{5m} \sin(5\omega t + \Psi_{5u} - \varphi_5) = 0,856 \sin(5\omega t - 131^\circ - 46,85^\circ) =$$

$$= 0,856 \sin(5\omega t - 177,85^\circ) \text{ А.}$$

$$P_5 = U_5 I_5 \cos \varphi_5 = I_5^2 R_5 = 0,605^2 \cdot 6 = 2,2 \text{ Вт.}$$

4) Расчет несинусоидальных токов и напряжений.

Мгновенное значение несинусоидального тока

$$i = i_1 + i_3 + i_5 = 6,26 \sin(\omega t + 56,11^\circ) +$$

$$+ 4,517 \sin(3\omega t + 56,67^\circ) + 0,856 \sin(5\omega t - 177,85^\circ) \text{ А.}$$

Показание амперметра А равно действующему значению неси-

3

нусоидального тока

$$I = \sqrt{I_1^2 + I_3^2 + I_5^2} = \sqrt{4,427^2 + 3,194^2 + 0,605^2} = 5,492 \text{ А.}$$

Показание вольтметра V равно действующему значению несинусоидального входного напряжения

$$U = \sqrt{U_1^2 + U_3^2 + U_5^2} = \sqrt{75,66^2 + 19,16^2 + 5,31^2} = 78,23 \text{ В.}$$

Показание вольтметра V_{AB} равно действующему значению несинусоидального напряжения на участке цепи AB

$$U_{AB} = \sqrt{U_1^2_{AB} + U_3^2_{AB} + U_5^2_{AB}} = \sqrt{27,98^2 + 27,1^2 + 7,058^2} = 39,59 \text{ В.}$$

Показание ваттметра равно активной мощности, расходуемой в цепи на нагрев сопротивления R несинусоидальным током

$$P = P_1 + P_3 + P_5 = 117,59 + 61,21 + 2,2 = 181 \text{ Вт.}$$

Для построения кривых U , i , как функций времени, целесообразно начальные фазы высших гармоник напряжения и тока выразить в масштабе основной (первой) гармоники. С этой целью выражения для мгновенных значений напряжения и тока записываем в следующем виде:

$$U = 107 \sin(\omega t - 13,33^\circ) + 27,1 \sin 3(\omega t + 18,89^\circ) + 7,51 \sin 5(\omega t - 26,2^\circ) \text{ В;}$$

$$i = 6,26 \sin(\omega t + 56,11^\circ) + 4,517 \sin 3(\omega t + 18,89^\circ) + 0,856 \sin 5(\omega t - 35,57^\circ) \text{ А.}$$

При построении кривых (рис. 2) необходимо помнить, что период K -той гармоники в масштабе периода первой гармоники в K раз меньше, чем для 1 -й гармоники, т.е.

$$\omega T_3 = \frac{2\pi}{3} = \frac{360^\circ}{3} = 120^\circ; \quad \omega T_5 = \frac{2\pi}{5} = \frac{360^\circ}{5} = 72^\circ.$$

Задача 2. Дано: параметры цепи (рис. 3): $R = 50 \Omega$; $L = 15,93 \text{ мГн}$; $C = 70,77 \text{ мкФ}$.

Частота основной гармоники $f = 50 \text{ Гц}$. Напряжение на входе цепи несинусоидально $U = (200 + 100 \sin 3\omega t) \text{ В}$.

Определить показания приборов, указанных на схеме (рис. 3).

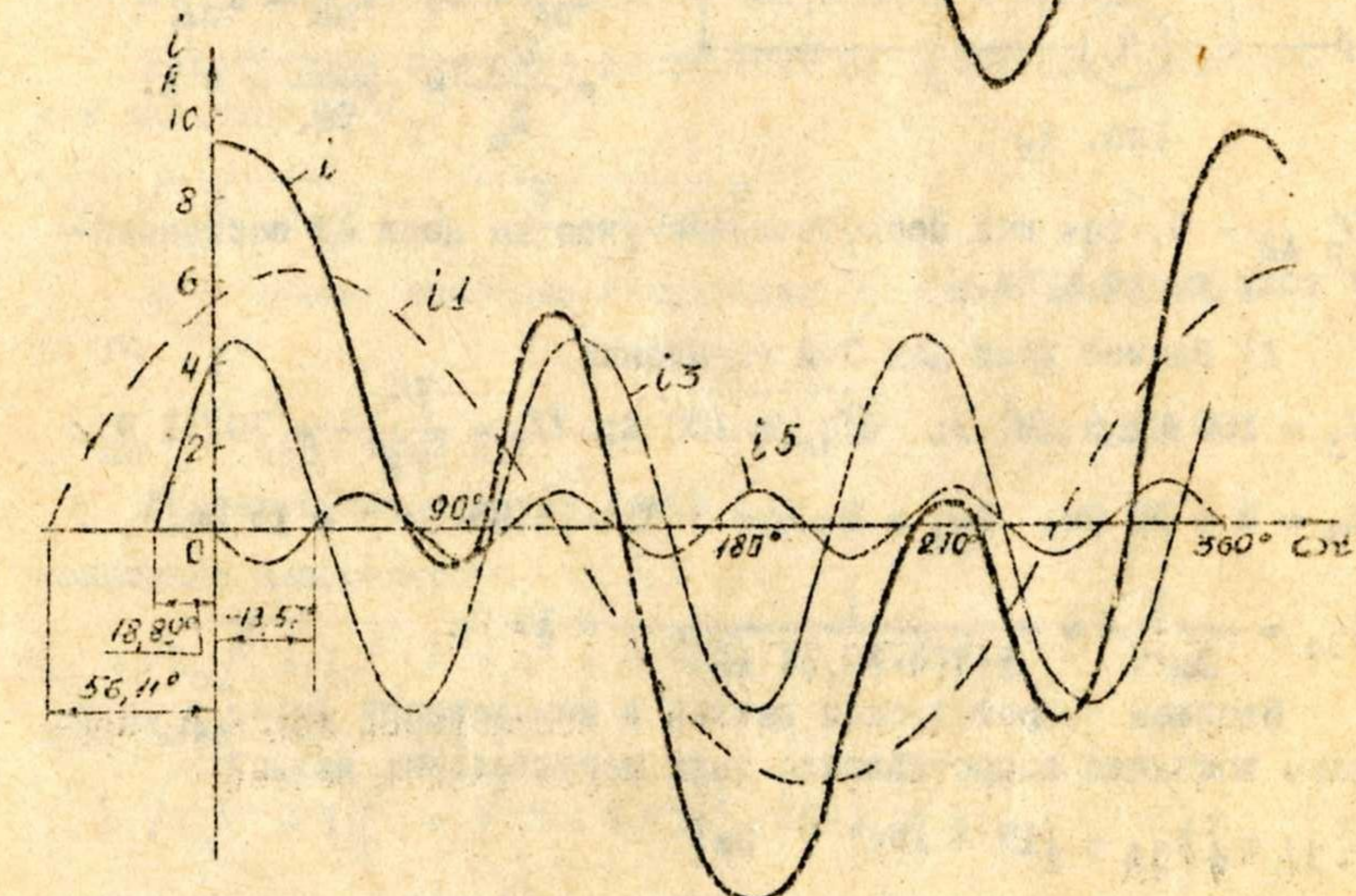
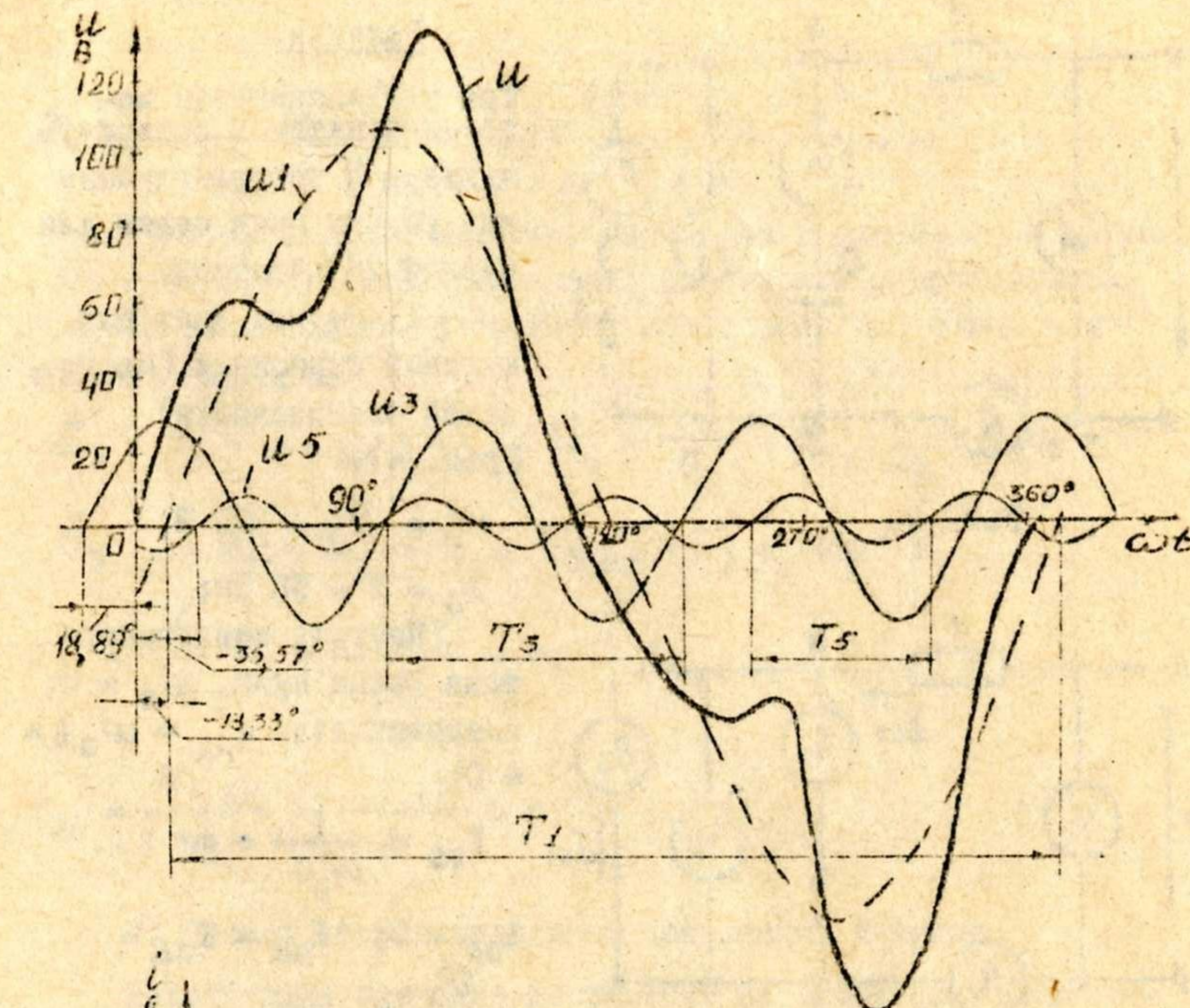


Рис. 2.

Задача 3. Дано: фазное напряжение симметричного генератора, к которому подключен симметричный электро приемник, задано следующим выражением:

$U_\Phi = (120 + 100 \sin \omega t + 70 \sin 3\omega t) \text{ В.}$ Сопротивления отдельных фаз приемника для токов I-й гармоники

$$\begin{aligned} Z_{I\alpha} &= Z_{I\beta} = Z_{I\gamma} = 6 + j8 = \\ &= 10e^{j53,13^\circ} \Omega. \end{aligned}$$

Определить показания всех приборов, указанных на схеме (рис. 5) при наличии и отсутствии нулевого провода.

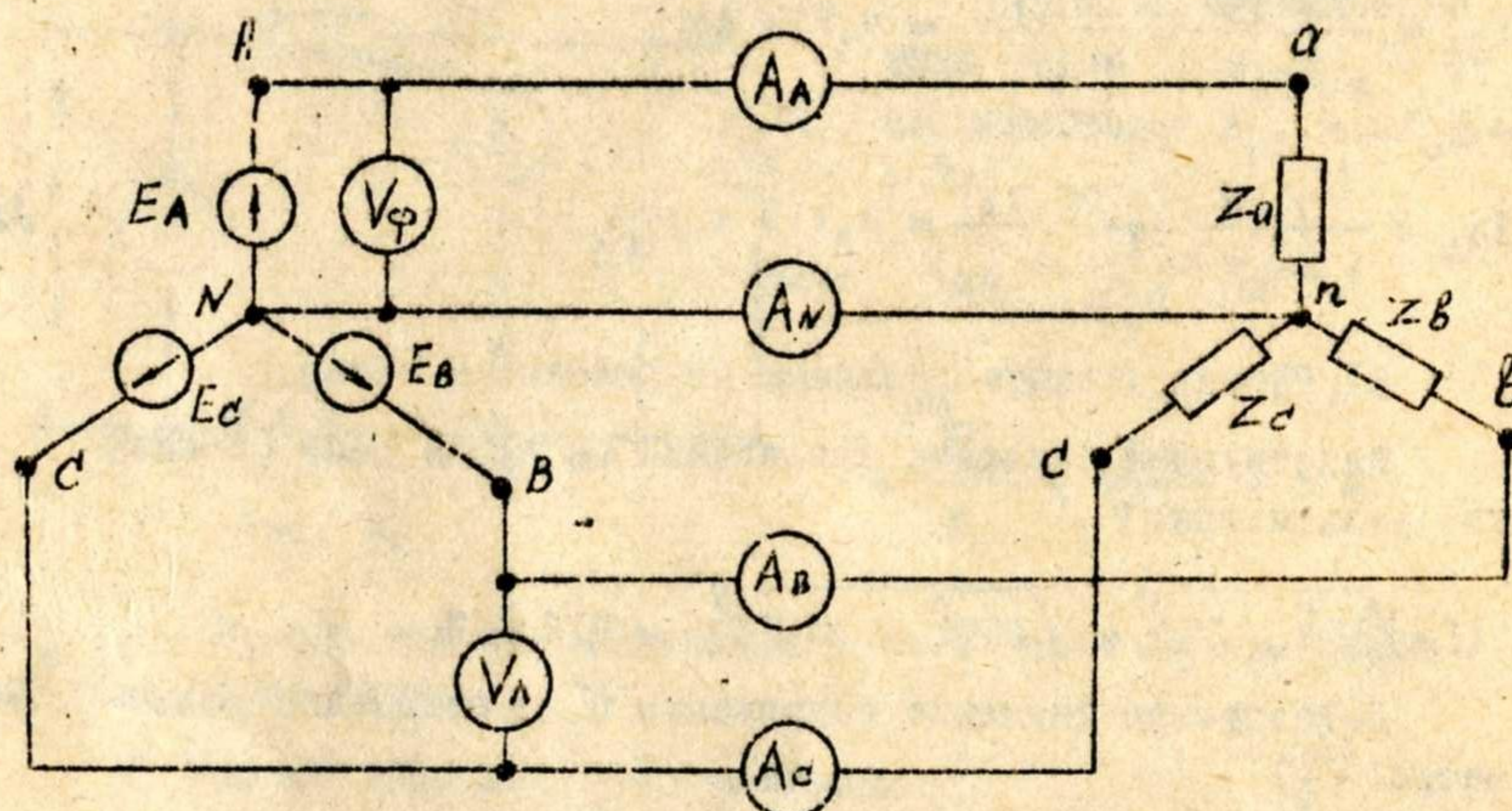


Рис. 5.

Решение:

3.1. Нулевой провод включен.

I) Расчет цепи для нулевой гармоники.

Так как приемник симметричный, система фазных напряжений приемника будет такой же как и система фазных напряжений генератора

$$\begin{aligned} U_{0A} &= U_{0a} = 120 \text{ В}; \quad U_{0B} = U_{0b} = 120 \text{ В}; \quad U_{0C} = U_{0c} = 120 \text{ В}; \\ U_{0\alpha} &= U_{0\beta} = U_{0\gamma} = U_{0\Phi} = 120 \text{ В}. \end{aligned}$$

8

Линейное напряжение для нулевой гармоники равно нулю, так как, например $U_{0AB} = U_{0A} - U_{0B} = 0$, т.е. $U_{0L} = 0$.

Сопротивления приемника для нулевой гармоники:

$$R_0 = R = 6 \Omega; \quad X_{0A} = 0, \text{ так как } \omega_0 = 0.$$

$$I_{0A} = I_{0B} = I_{0C} = I_0 = \frac{U_{0\Phi}}{R_0} = \frac{120}{6} = 20 \text{ А.}$$

Ток в нулевом проводе

$$I_{0N} = 3 \cdot I_0 = 3 \cdot 20 = 60 \text{ А.}$$

2) Расчет цепи для первой гармоники.

$$U_I = 100 \sin \omega t; \quad U_{Im} = 100 \text{ В}; \quad U_{I\Phi} = \frac{U_{Im}}{\sqrt{2}} = 70,71 \text{ В.}$$

Система напряжений генератора для первой гармоники изображена на диаграмме (рис. 6):

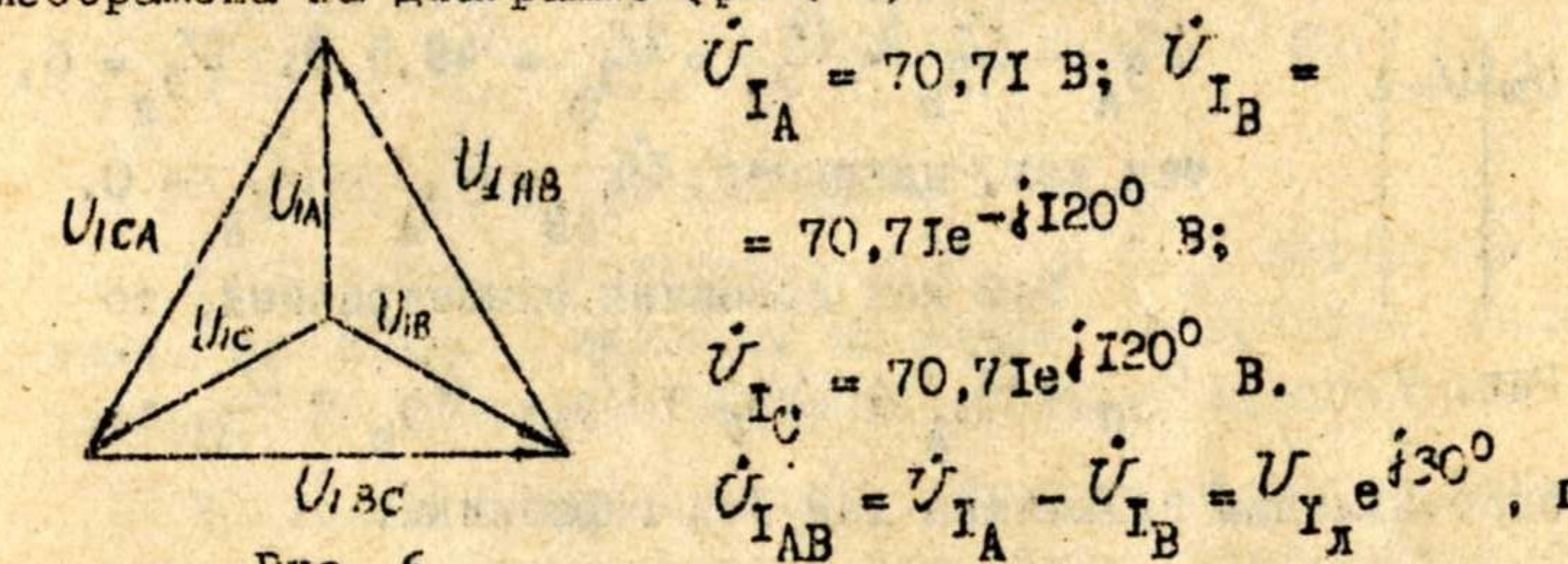


Рис. 6.

$$U_{IL} = \sqrt{3} U_{I\Phi} = \sqrt{3} \cdot 70,71 = 122,47 \text{ В.}$$

Для I-й гармоники режим работы цели симметричный, поэтому $\dot{U}_{I\alpha} = \dot{U}_{IA}$; $\dot{U}_{I\beta} = \dot{U}_{IB}$; $\dot{U}_{I\gamma} = \dot{U}_{IC}$.

Фазные (линейные) токи:

$$I_{I\alpha} = \frac{\dot{U}_{I\alpha}}{Z_{I\alpha}} = \frac{70,71}{10e^{j53,13^\circ}} = 7,07e^{-j53,13^\circ} = (4,243 - j5,657) \text{ А.}$$

$$\begin{aligned} I_{I\beta} &= \frac{\dot{U}_{I\beta}}{Z_{I\beta}} = \frac{70,71e^{-j120^\circ}}{10e^{j53,13^\circ}} = 7,07e^{-j173,13^\circ} \\ &= (-7,020 - j0,8458) \text{ А.} \end{aligned}$$

9

$$i_{I_C} = \frac{U_{I_C}}{Z_{I_0}} = \frac{70,71e^{j120^\circ}}{10e^{j53,13^\circ}} = 7,071e^{j66,87^\circ} = (2,778 + j6,503) \text{ A},$$

таким образом $I_{I_A} = I_{I_B} = I_{I_C} = I_I = 7,071 \text{ A}$.

Ток в нулевом проводе

$$i_{I_N} = i_{I_A} + i_{I_B} + i_{I_C} = 4,243 - j5,657 - 7,020 - j0,8458 + \\ + 2,778 + j6,503 \approx 0, \quad i_{I_N} = 0.$$

3) Расчет цепи для третьей гармоники.

$$U_3 = 70 \sin 3\omega t; \quad U_{3m} = 70 \text{ В}; \quad \psi_{3u} = 0; \quad U_{3\Phi} = \frac{U_{3m}}{\sqrt{2}} = \\ = 49,5 \text{ В}.$$

Фазные напряжения генератора третьей гармоники создают систему напряжений нулевой последовательности (рис. 7):

$$U_{3A} \parallel U_{3B} \parallel U_{3C} \quad U_{3A} = U_{3B} = U_{3C} = U_{3\Phi} = 49,5 \text{ В}; \quad U_{3N} = 0, \\ \text{так как, например, } U_{3AB} = U_{3A} - U_{3B} = 0.$$

Так как приемник симметричный, то
Рис. 7. $U_{3a} = U_{3A}; \quad U_{3b} = U_{3B}; \quad U_{3c} = U_{3C}$.

Сопротивления приемника для 3-й гармоники:

$$R_3 = R = 6 \Omega; \quad X_{3d} = 3X_{1d} = 3 \cdot 8 = 24 \Omega;$$

$$Z_3 = 6 + j24 = 24,74e^{j75,96^\circ} \Omega;$$

$$i_{3A} = i_{3B} = i_{3C} = i_3 = \frac{U_{3\Phi}}{Z_3} = \frac{49,5}{24,74e^{j75,96^\circ}} = 2e^{-j75,96^\circ} = \\ = (0,485 - j1,940) \text{ А}; \quad I_3 = 2 \text{ А}.$$

$$i_{3N} = i_{3A} + i_{3B} + i_{3C} = 3 \cdot i_3 = 6e^{-j75,96^\circ} \text{ А}; \quad I_{3N} = 6 \text{ А}.$$

4) Определяем действующие значения несинусоидальных напряжений и токов:

показание вольтметра V_Φ , включенного на фазное напряжение генератора

$$U_\Phi = \sqrt{U_{0\Phi}^2 + U_{I\Phi}^2 + U_{3\Phi}^2} = \sqrt{120^2 + 70,71^2 + 49,5^2} = 147,82 \text{ В};$$

показание вольтметра V_L , включенного на линейное напряжение генератора

$$U_L = \sqrt{U_{0L}^2 + U_{IL}^2 + U_{3L}^2} = \sqrt{0 + 122,47^2 + 0} = 122,47 \text{ В}.$$

Сравнивая показания вольтметров V_Φ и V_L , видим, что при несинусоидальном характере напряжений линейное напряжение может быть меньше фазного, так как в линейном напряжении отсутствуют нулевая, третья и кратные 3 гармоники.

Показания амперметров A_A , A_B , A_C , включенных в линейные провода

$$I_A = I_B = I_C = \sqrt{I_0^2 + I_I^2 + I_3^2} = \sqrt{20^2 + 7,071^2 + 2^2} = 21,31 \text{ А}.$$

Показание амперметра A_N , включенного в нулевой провод

$$I_N = \sqrt{I_{0N}^2 + I_{IN}^2 + I_{3N}^2} = \sqrt{60^2 + 0 + 6^2} = 60,3 \text{ А}.$$

3.2. Нулевой провод отключен.

1) Показания вольтметров V_Φ и V_L останутся неизменными, так как они включены на зажимы генератора, напряжение которого не изменится в случае обрыва нулевого провода.

2) Так как токи нулевой и третьей гармоник замыкаются по нулевому проводу, то при его обрыве размыкается цепь токов этих гармоник, поэтому $I_0 = 0$, $I_3 = 0$.

3) Режим работы трехфазной цепи для токов 1-й гармоники не изменится при обрыве нулевого провода, так как цепь симметричная.

Показания амперметров A_A , A_B , A_C

$$I_A = I_B = I_C = I_I = 7,071 \text{ А}.$$

Задача 4. Разложить в тригонометрический ряд Фурье периодическую функцию напряжения, рис. 8. Принять $T = 0,01 \text{ с}$, $U_{r.m.s.} = 100 \text{ В}$.

Задача 5. Дано: параметры цепи (рис. 9): $R_I = 50 \Omega$; $L = 2 \text{ мГн}$. К входным зажимам приложено несинусоидальное напряжение $U = (20 \sin 5000t + 10 \sin 15000t) \text{ В}$.

Определить:

- 1) ёмкости конденсаторов C_1 и C_2 , при которых цепь настроена в резонанс напряжений для первой гармоники и не пропускает ток третьей гармоники;
- 2) выражения мгновенных значений токов и напряжения на параллельном участке цепи;
- 3) действующие значения токов, напряжения на параллельном участке цепи, активную мощность электрической цепи.

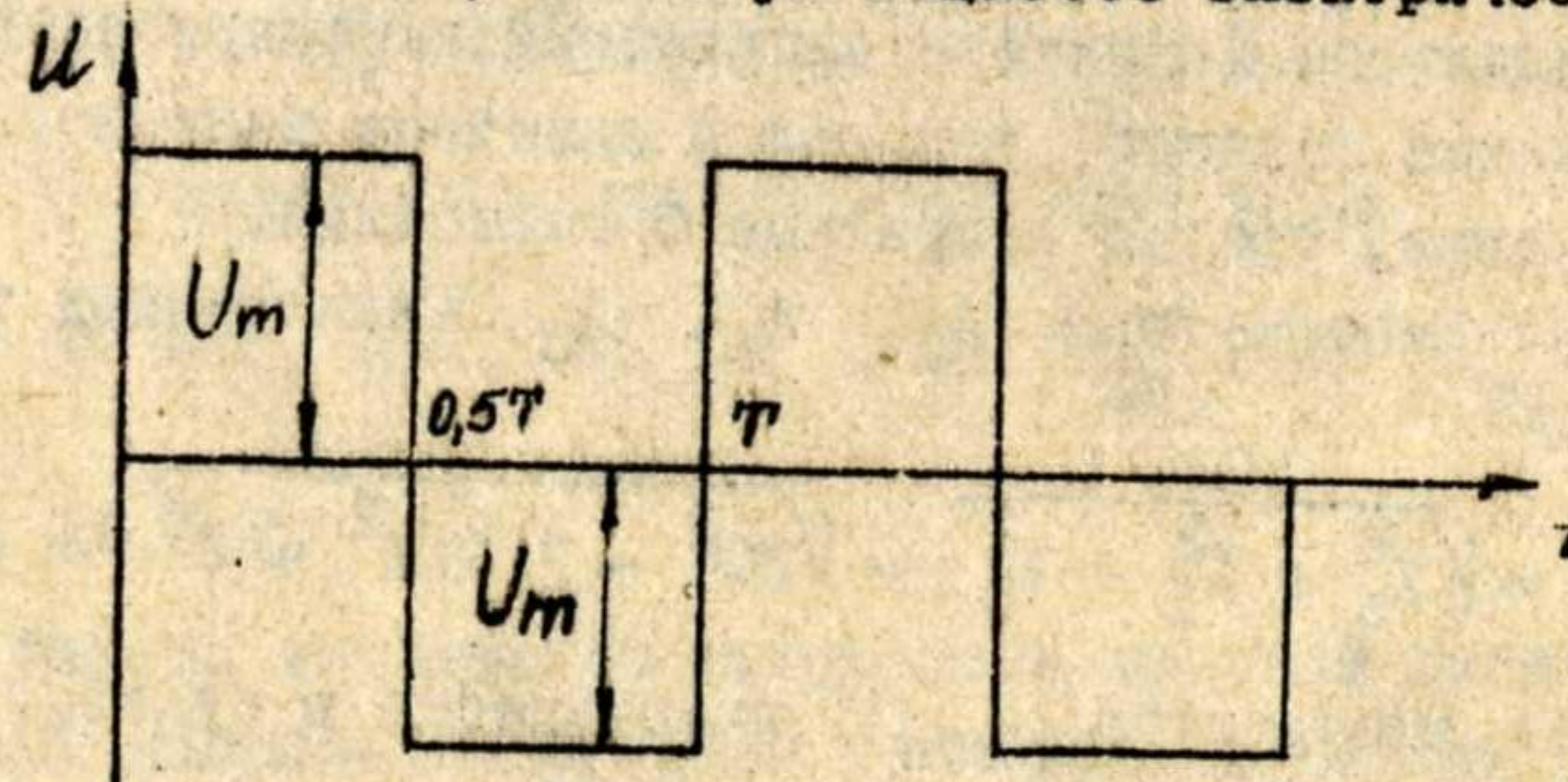


Рис. 8.

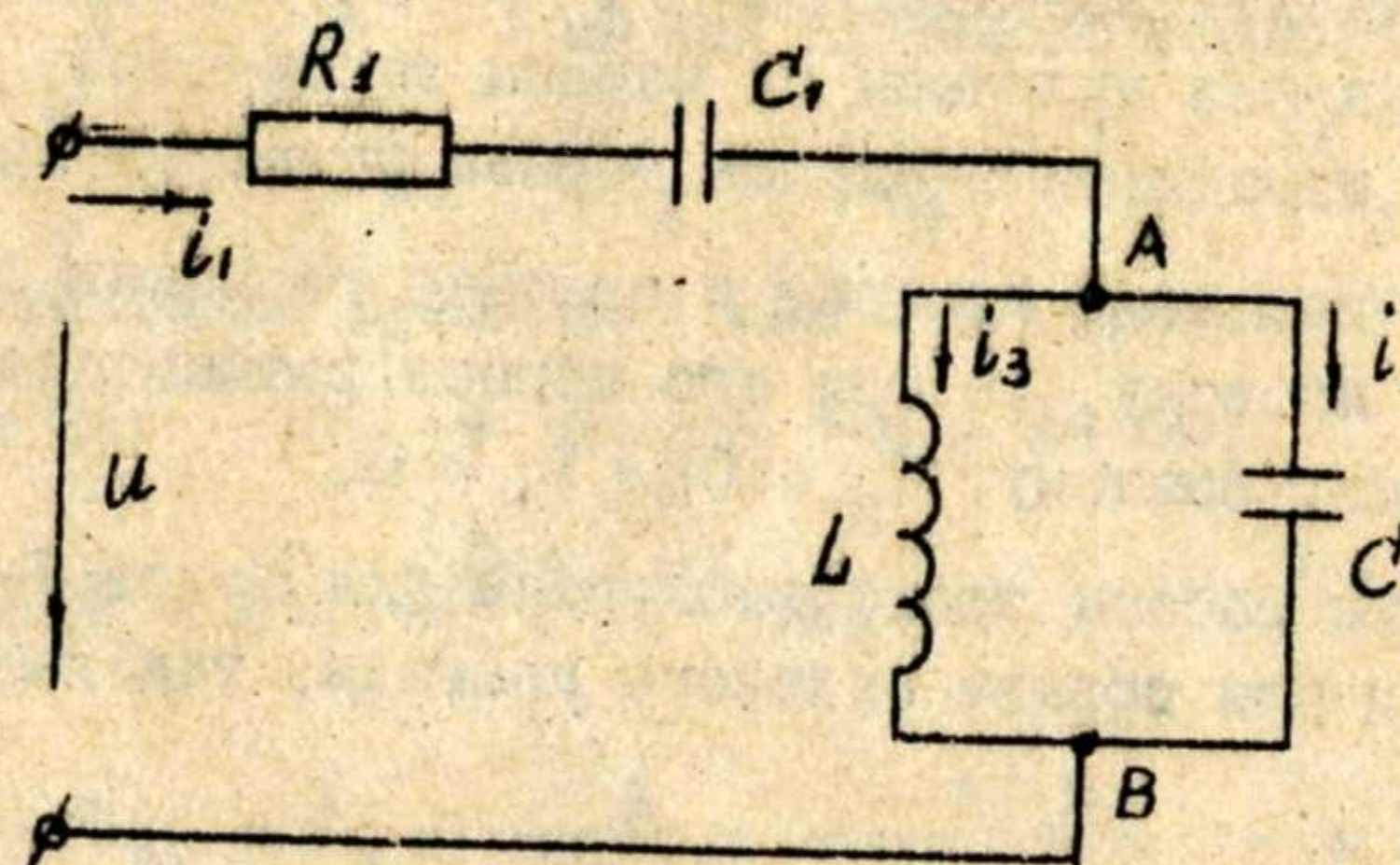


Рис. 9.

Задача 6. Дано: параметры цепи (рис. 10): $R_1 = 40 \Omega$; $R_2 = 60 \Omega$; $\omega_1 L_1 = 30 \Omega$; $\omega_1 L_2 = 60 \Omega$; $\omega_1 M = 20 \Omega$. К входным зажимам приложено напряжение $u = (100 + 70,7 \sin \omega_1 t) \text{ В}$.

Определить: выражения мгновенных токов i_1 и i_2 .

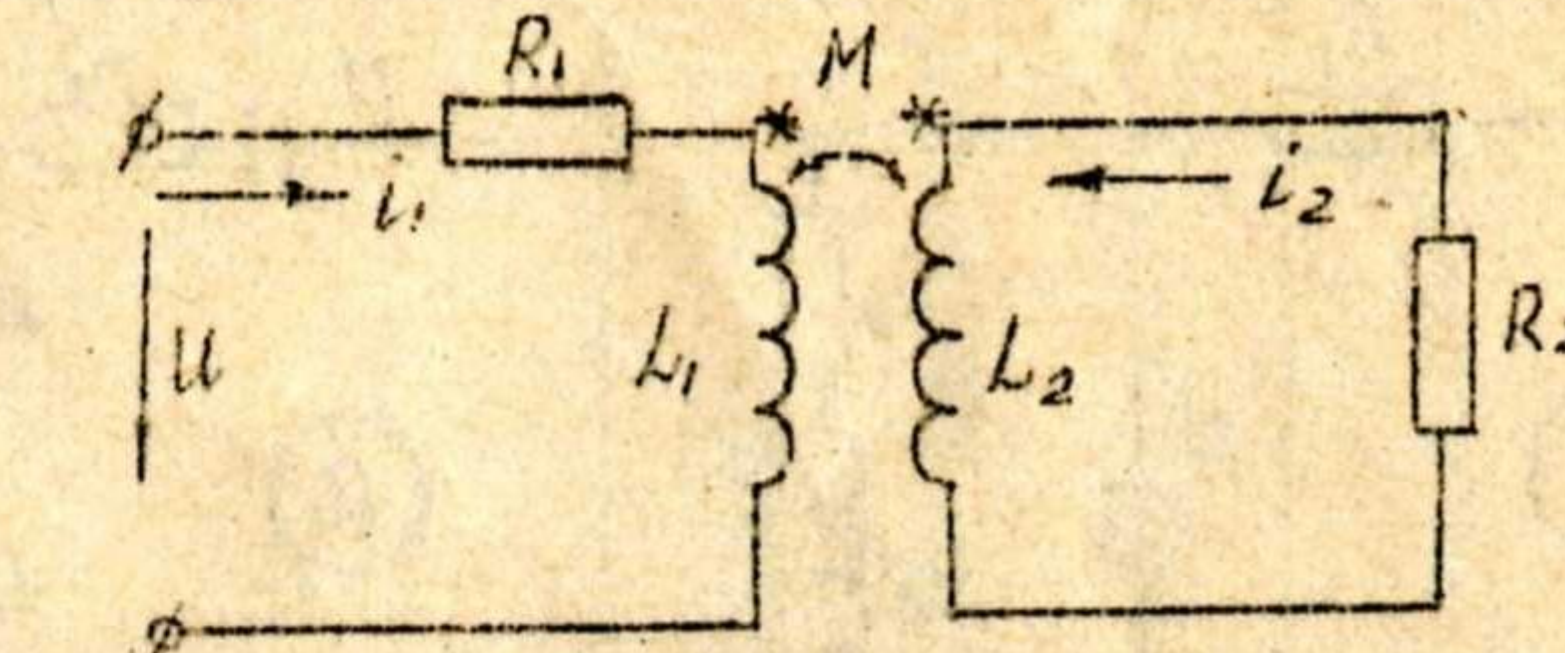


Рис. 10.

Задача 7. Дано: напряжение фазы А симметричного трехфазного генератора

$$u_A = [200\sqrt{2} \sin \omega t + 100\sqrt{2} \sin 3\omega t + 50\sqrt{2} \sin 5\omega t] \text{ В.}$$

Трехфазный приемник симметричен

$$Z_{ab} = Z_{bc} = Z_{ca} = 50e^{j10^\circ} \Omega, \text{ (рис. II).}$$

Определить показания приборов.

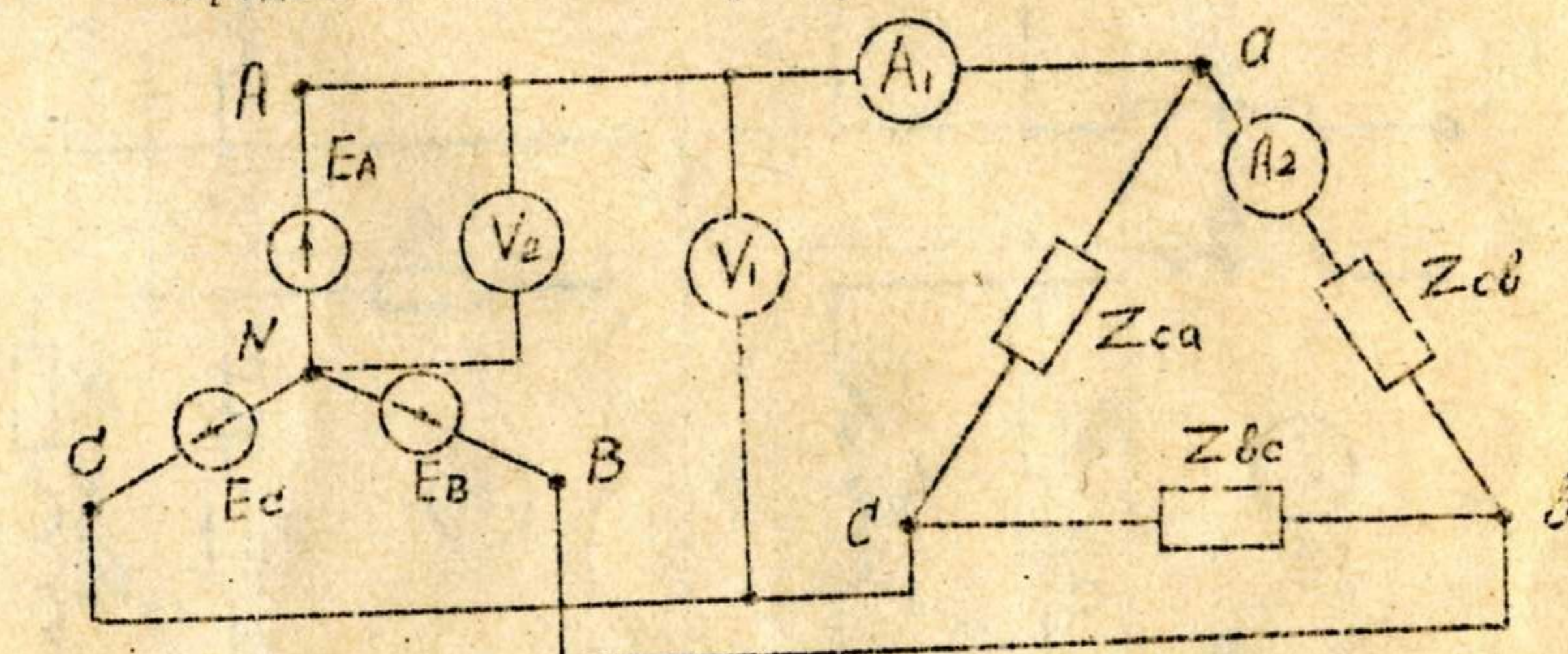


Рис. II.

ИНДИВИДУАЛЬНОЕ ЗАДАНИЕ 8.

РАСЧЕТ ЛИНЕЙНЫХ ЭЛЕКТРИЧЕСКИХ ЦЕПЕЙ ПРИ НЕСИНУСОИДАЛЬНЫХ ТОКАХ.

Задача 8. I. Дано: к цепи (рис. 12) приложено напряжение несинусоидальной формы, график к аналитическое выражение $u(\omega t)$ которого приведен в табл. 1.

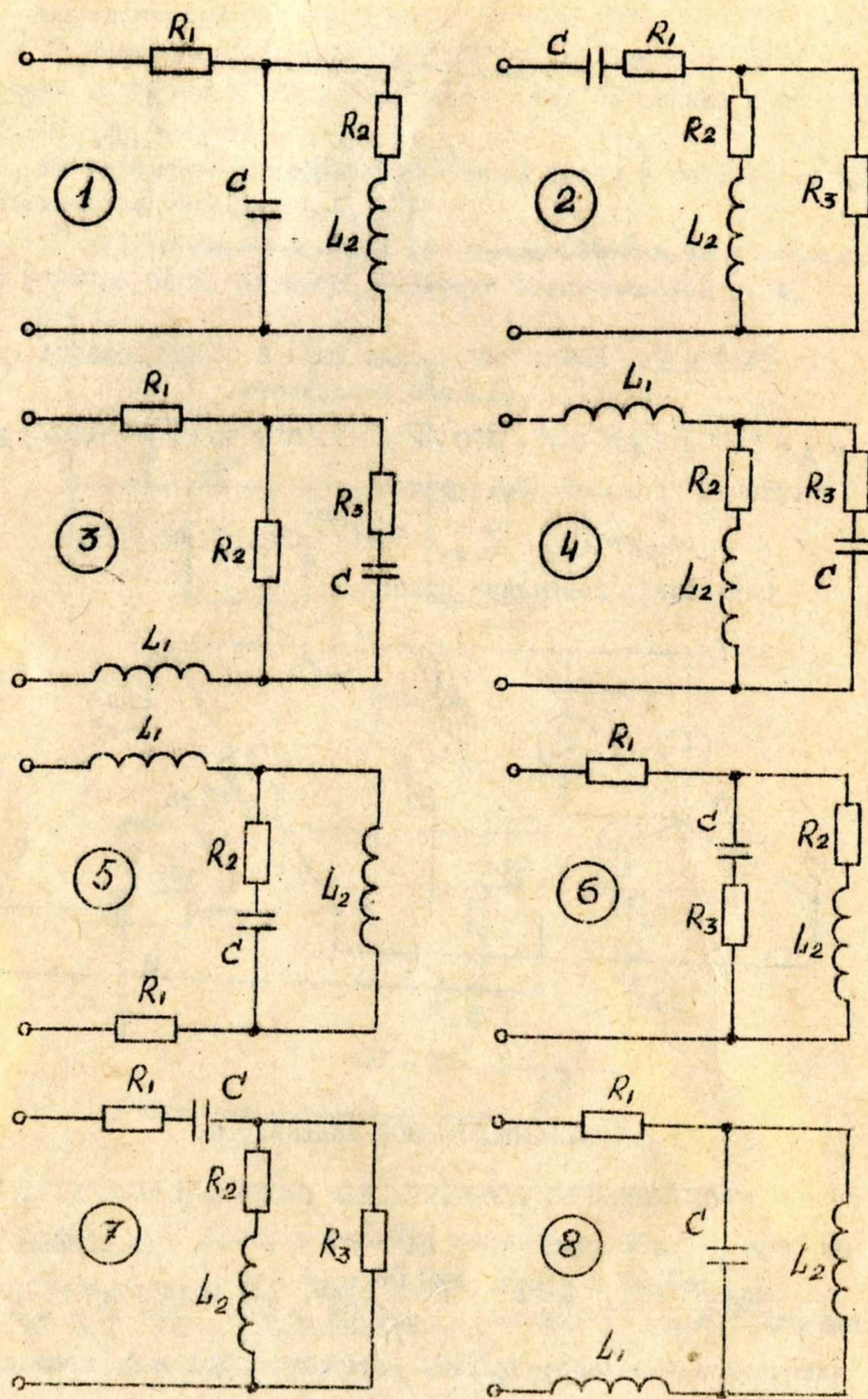


Рис. 12.

Таблица I

№ пункта	Продукт $U(\omega t)^k$	Разложение в ряд Фурье	
		$U(\omega t) = U_m \sin \omega t$	$U(\omega t) = \frac{4U_{\max}}{\pi} (\sin \alpha \cdot \sin \omega t + \dots)$
1	$U(\omega t)$	$U_m \sin \omega t$	$U(\omega t) = U_m \sin \omega t$
2	$U(\omega t)^2$	$\frac{U_m^2}{2}$	$U(\omega t)^2 = \frac{4U_{\max}^2}{\pi^2} (\sin^2 \alpha \cdot \sin 2\omega t + \frac{1}{9} \sin 5\omega t \sin 5\omega t + \dots + \frac{1}{25} \sin 5\omega t \cdot \sin 5\omega t)$
3	$U(\omega t)^3$	$\frac{3U_m^3}{4}$	$U(\omega t)^3 = \frac{8U_{\max}^3}{\pi^3} (\sin^3 \alpha \cdot \sin 3\omega t - \frac{1}{9} \sin 3\omega t + \frac{K-1}{K^2} \sin K\omega t)$
4	$U(\omega t)^4$	$\frac{U_m^4}{4}$	$U(\omega t)^4 = \frac{16U_{\max}^4}{\pi^4} (\sin^4 \alpha \cdot \sin 4\omega t + \frac{1}{9} \sin 8\omega t \sin 8\omega t + \dots + \frac{(-1)^{K-1}}{K^4} \sin K\omega t \cdot \sin K\omega t)$

Продолжение табл. 1

# книжки	График $u(\omega t)$	Разложение в ряд $u(\omega t')$	
		$u(\omega t) = \frac{4U_{\max}}{\pi} (\sin \omega t + \frac{1}{3} \sin 3\omega t + \dots)$	$u(\omega t) = \frac{U_m}{\pi} + \frac{U_m}{2} \sin 2\omega t - \frac{2U_m}{3\pi} \cos 2\omega t - \dots$
4		$u(\omega t) = \frac{U_m}{\pi} + \frac{U_m}{2} \sin 2\omega t - \frac{2U_m}{3\pi} \cos 2\omega t - \dots$	$u(\omega t) = \frac{U_m}{\pi} + \frac{U_m}{2} \sin 2\omega t - \frac{2U_m}{3\pi} \cos 2\omega t - \dots$
5		$u(\omega t) = \frac{2U_m}{\pi} - \frac{4U_m}{3\pi} \cos 2\omega t - \frac{4U_m}{15\pi} \cos 4\omega t - \frac{4U_m}{35\pi} \cos 6\omega t - \dots$	$u(\omega t) = \frac{2U_m}{\pi} - \frac{4U_m}{3\pi} \cos 2\omega t - \frac{4U_m}{15\pi} \cos 4\omega t - \frac{4U_m}{35\pi} \cos 6\omega t - \dots$
6		$u(\omega t) = \frac{3\sqrt{3}U_m}{\pi} (\frac{1}{2} + \frac{1}{2 \cdot 4} \cos 6\omega t - \frac{1}{5 \cdot 7} \cos 10\omega t - \dots)$	$u(\omega t) = \frac{3\sqrt{3}U_m}{\pi} (\frac{1}{2} + \frac{1}{2 \cdot 4} \cos 6\omega t - \frac{1}{5 \cdot 7} \cos 10\omega t - \dots)$
7			

16

Максимальное значение напряжения U_{\max} (или U_m) и параметры цепи заданы в табл. 2. Основная частота приложенного напряжения равна 50 Гц. Требуется:

1. Записать уравнение для мгновенного значения напряжения в виде ряда Фурье до шестой гармонической включительно.
2. Рассчитать цепь, определив действующие значения токов и напряжений всех ветвей цепи.
3. Определить мгновенное значение тока в виде ряда Фурье в неразветвленной части цепи.
4. Определить активную мощность цепи.
5. Построить кривые приложенного напряжения и тока в неразветвленной части цепи как суммы гармонических составляющих.

Таблица 2

Исходные данные к задаче 8.1

Первая цифра шифра	U_{\max} или U_m	Δ_1	Вторая цифра шифра	№ криевой (табл. I)	№ схемы (рис. I2)	R_2	Δ_2	Третья цифра шифра	R_3	C	R_1
1	100	31,8	1	5	I	20	63,6	I	40	159	2
2	120	28,7	2	2	2	25	57,4	2	30	177	4
3	140	25,5	3	3	3	30	51	3	20	199	6
4	160	22,3	4	4	4	35	44,6	4	18	212	8
5	180	19,1	5	5	5	40	38,2				
6	200	38,2	6	6	6	45	31,8				
7	220	44,6	7	7	7	50	28,7				
8	240	19,1	8	6	8	55	25,5				

Задача 8.2. Дано: К электрической цепи (рис. I3) приложено несинусоидальное напряжение (рис. I4). Параметры цепи и значение угла α_0 приведены в табл. 3.

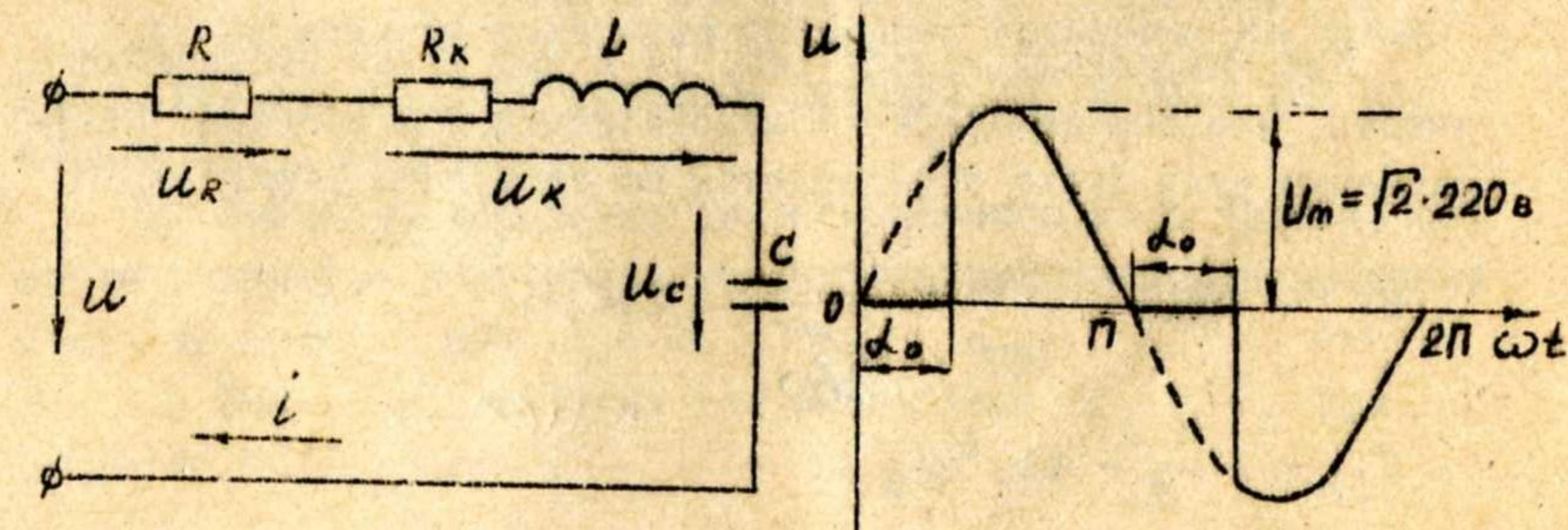


Рис. I3.

Рис. I4

17

Требуется:

1. Разложить аналитическим методом заданную кривую напряжения, приложенного к цепи рис. 13, в ряд Фурье до 7 гармонической составляющей включительно.

2. Определить значение емкости С, при которой в цепи наступит резонанс напряжений для заданной в табл. 3 гармоники.

3. Рассчитать электрическую цепь рис. 13 для вычисленного значения емкости, определив действующие значения тока I и напряжений U , U_R , U_K , U_C , а также активную мощность цепи P.

4. Записать выражения для мгновенных тока i и напряжений u_R , u_K , u_C .

5. Построить временные диаграммы $u(\omega t)$, $u_K(\omega t)$, как суммы гармонических составляющих.

Исходные данные к задаче 8.2

Первая цифра	α_0 град	R Ом	Вторая цифра	R_K Ом	L Гн	Третья цифра	Номер гармоники, для которой определяется резонансная емкость
1	90	55	1	20,5	0,286	1	1
2	100	65	2	14,5	0,418	2	3
3	110	70	3	13,5	0,277	3	5
4	70	60	4	14	0,315	4	7
5	45	50	5	13	0,264		
6	90	80	6	9	0,146		
7	110	75	7	12	0,258		
8	45	85	8	10,5	0,208		

Методические указания к задаче 8.2

При разложении кривой рис. 14 в ряд Фурье необходимо учесть, что она симметрична относительно оси абсцисс. Коэффициенты ряда Фурье определяются по следующим формулам:

$$B_{1m} = U_m \left(1 - \frac{\alpha_0}{180^\circ} + \frac{1}{2\pi} \frac{K_0}{2\alpha_0} \right);$$

$$C_{1m} = -\frac{U_m}{\pi} \sin^2 \alpha_0;$$

$$B_{Km} = \frac{U_m}{\pi} \left\{ \frac{\sin[(K+1)\alpha_0]}{K+1} - \frac{\sin[(K-1)\alpha_0]}{K-1} \right\};$$

$$C_{Km} = \frac{U_m}{\pi} \left\{ \frac{\cos[(K+1)\alpha_0]}{K+1} - \frac{\cos[(K-1)\alpha_0]}{K-1} \right\}.$$

Амплитудное значение напряжения K-той гармонической составляющей

$$U_{Km} = \sqrt{B_{Km}^2 + C_{Km}^2};$$

начальная фаза при $B_{Km} > 0$

$$\Psi_K = \arctg \frac{C_{Km}}{B_{Km}};$$

начальная фаза при $B_{Km} < 0$

$$\Psi_K = \arctg \frac{C_{Km}}{B_{Km}} \pm 180^\circ.$$

Задача 8.3. Дано: Выражение несинусоидальной э.д.с. фазы А симметричного трехфазного

генератора, обмотки которого соединены звездой,

$$\epsilon_A = E_{1m} \sin \omega t + E_{2m} \sin 2\omega t + E_{3m} \sin 3\omega t + E_{4m} \sin 4\omega t + E_{5m} \sin 5\omega t + E_{6m} \sin 6\omega t. \text{ К этому генератору подключен трехфазный симметричный приемник } Z_a(I) = Z_b(I) = Z_c(I) = Z(I) e^{j\varphi(A)} \text{ (рис. 15). Параметры электрических цепей и значения э.д.с. генератора приведены в табл. 4.}$$

Требуется:

1. Определить показания приборов, указанных на схеме (рис. 15) при наличии нулевого провода ($Z_N = 0$) и при его отрыве ($Z_N = \infty$).

2. Записать выражения для мгновенного тока токовой обмотки ваттметра и мгновенного напряжения обмотки напряжения этого же прибора при $Z_N = 0$.

3. Записать выражения для мгновенных u_n и i_n при $Z_N = 0$ и $Z_N = \infty$.

141

Аудиосигналы. СВЧ умножор

Таблица 4

Исходные данные к задаче 8.3

Первая цифра шага	E_{1m}	$\frac{E_{2m}}{E_{1m}}$	Вторая цифра шага	№ схемы (рис. 15)	E_{2m}	E_{5m}	$Z^*(1)$	Третья цифра шага	E_{6m}	E_{1m}	$\Sigma(1)$
					E_{1m}	E_{1m}	Z_N				
1	$100\sqrt{2}$	0,3	1	1	0,5	0,1	100	1	0,3	0,2	30
2	$200\sqrt{2}$	0,5	2	2	0,4	0,2	50	2	0,4	0,3	60
3	$300\sqrt{2}$	0,2	3	3	0,3	0,3	20	2	0,2	0,4	-30
4	$400\sqrt{2}$	0,4	4	4	0,2	0,4	20	4	0,5	0,5	0
5	$500\sqrt{2}$	0,1	5	5	0,1	0,5	50				
6	$600\sqrt{2}$	0,2	6	6	0,2	0,4	100				
7	$700\sqrt{2}$	0,3	7	7	0,3	0,3	200				
8	$800\sqrt{2}$	0,4	8	8	0,4	0,2	10				

20

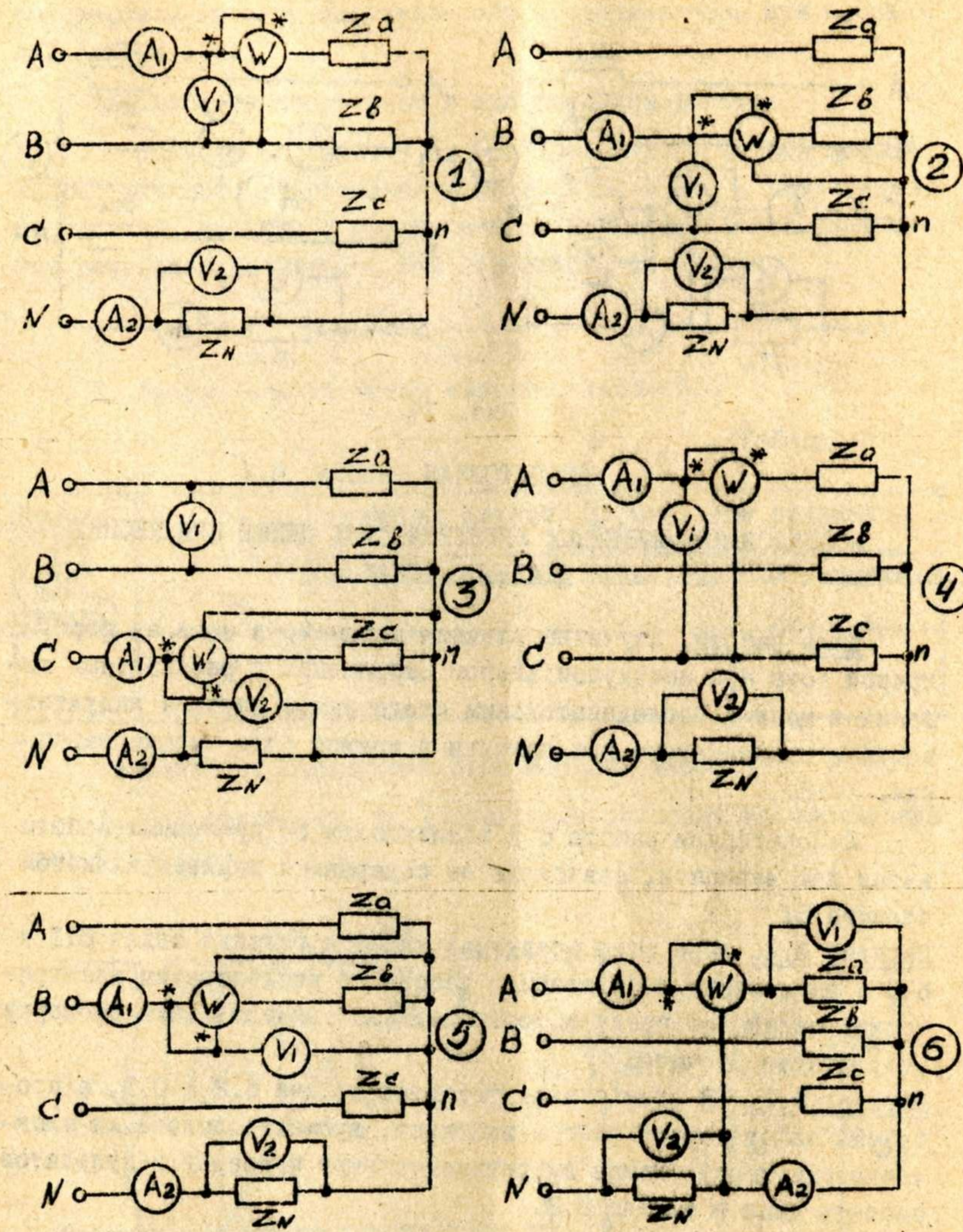


Рис. 15.

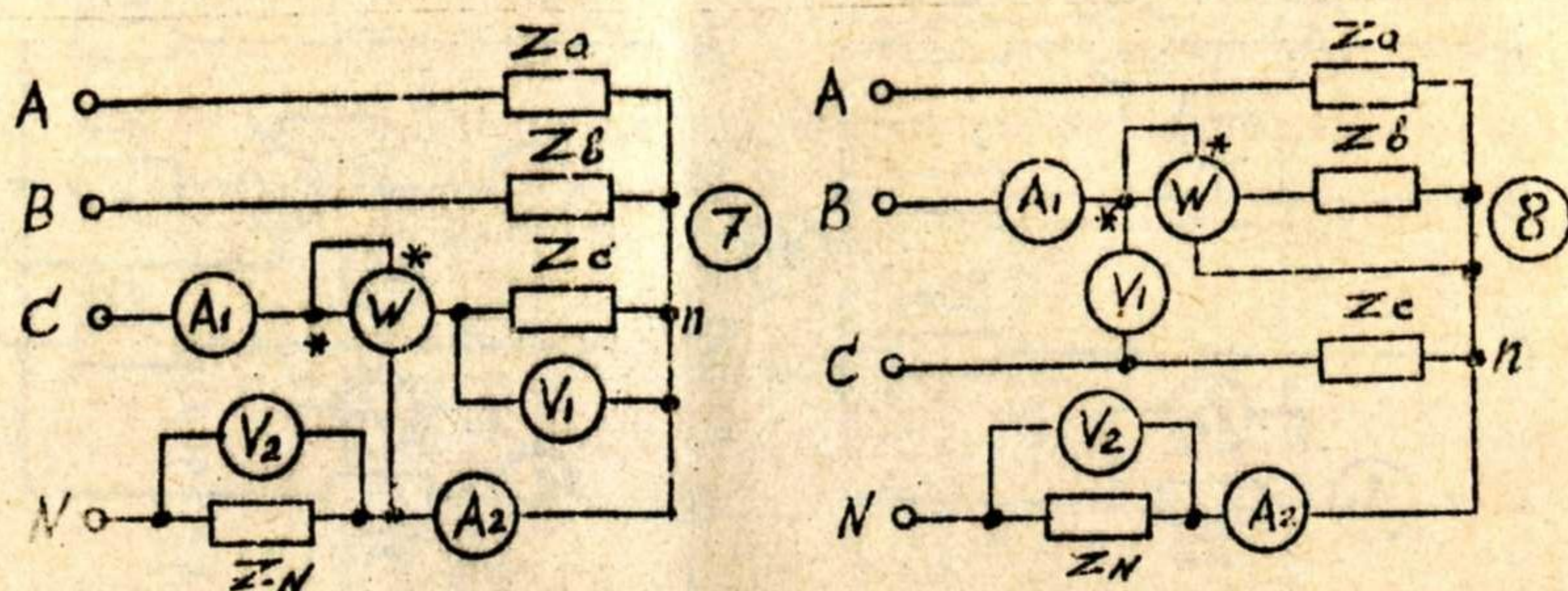


Рис. 15.

ЛАБОРАТОРНАЯ РАБОТА 8.1

ИССЛЕДОВАНИЕ ЛИНЕЙНЫХ ЭЛЕКТРИЧЕСКИХ ЦЕПЕЙ ПРИ НЕСИНУСОИДАЛЬНЫХ ТОКАХ

Цель работы. Изучение влияния параметров цепи на форму кривой тока при несинусоидальном напряжении и резонансных явлений в цепи с последовательным соединением катушки индуктивности и конденсатора при наличии в кривой тока высших гармоник.

Лабораторная работа 8 в зависимости от программы работы имеет два варианта, зависящих от содержания индивидуального задания 8:

Вариант 8.1. При этом предусматривается решение задач 8.1 и 8.3 и выполнение лабораторной работы по исследованию электрических цепей, не предусматривающей экспериментальную проверку результатов расчета;

Вариант 8.2. В этом случае решаются задачи 8.2 и 8.3, а программа лабораторной работы включает, кроме исследования электрических цепей, также экспериментальную проверку результатов расчета цепи в задаче 8.2.

ЛАБОРАТОРНАЯ РАБОТА 8.1

Программа работы:

1. Определить влияние параметров электрической цепи на форму кривой тока при несинусоидальном напряжении.
2. Исследовать резонансные явления в цепи с последовательным

соединением катушки индуктивности и конденсатора при несинусоидальном токе.

Указания по подготовке к лабораторной работе.

1. Записав из табл. 3, в соответствии со второй цифрой шифра, значение индуктивности катушки $L = L_3$, рассчитывают значения емкости С конденсатора, необходимой для достижения резонанса напряжений К-й гармоники, из условия

$$K\omega L = \frac{I}{K\omega C}.$$

2. Результаты расчетов сводят в табл. 5.

Таблица 5

Вторая цифра шифра (номер стендса)	$L = L_3$, Гн	Значение емкости С (мкФ) при резонансе напряжений		
		I-й гармоники	3-й гармоники	5-й гармоники

Указания по выполнению лабораторной работы.

1. Для выполнения п. 1 программы собирают электрическую цепь (рис. 16).

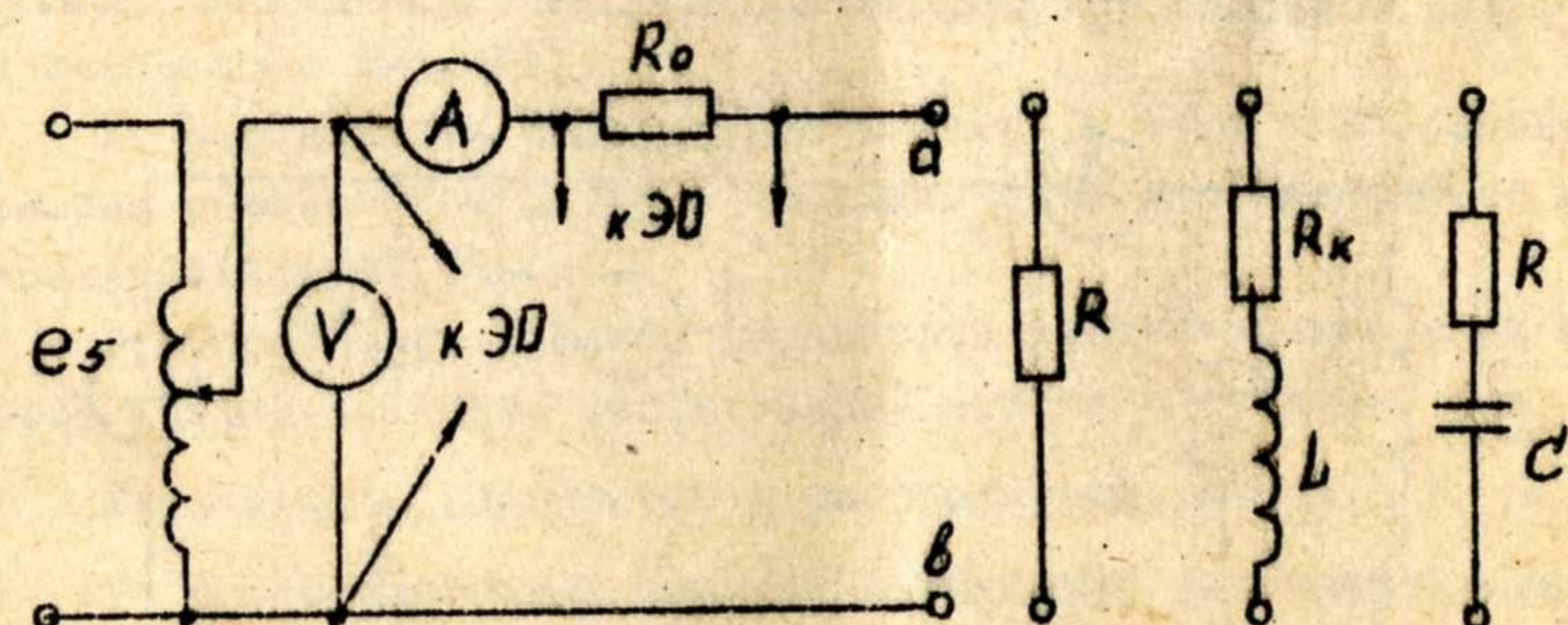


Рис. 16.

2. Подключив к зажимам $\alpha\beta$ цепи резистор $R = 50 \Omega$, автотрансформатором устанавливают входное напряжение $U = 40$ В. Записывают показания приборов в табл. 6 и снимают осциллограммы входного напряжения и тока в цепи. При осциллографиро-

вании тока осциллограф подключается параллельно резистору $R_0 = 10 \Omega$. При этом снимается осциллограмма напряжения на активном сопротивлении R_0 , которая по форме совпадает с осциллограммой тока в неразветвленной части цепи.

3. Вместо резистора R к зажимам ab цепи включается катушка индуктивности L_3 и при указанном в п. 2 напряжении снимается осциллограмма тока и показания приборов.

4. Вместо L_3 включается к зажимам ab цепи последовательно $R = 50 \Omega$ и $C = 24 \mu F$ и выполняются измерения, указанные в п. 3.

Таблица 6

Наименование параметров цепи	U		Наименование осциллограмм
	V	A	
R			$u(t), i_R(t)$
L, R_K			$i_K(t)$
C, R			$i_C(t)$

5. Для выполнения п. 2 программы собирают электрическую цепь (рис. 17), используя катушку L_3 и включив $R_0 = 10 \Omega$.

6. Установив значение емкости конденсатора на 15...20 % больше резонансного значения для I-й гармоники, записывают показания приборов при входном напряжении $U = 40 V$ в табл. 7.

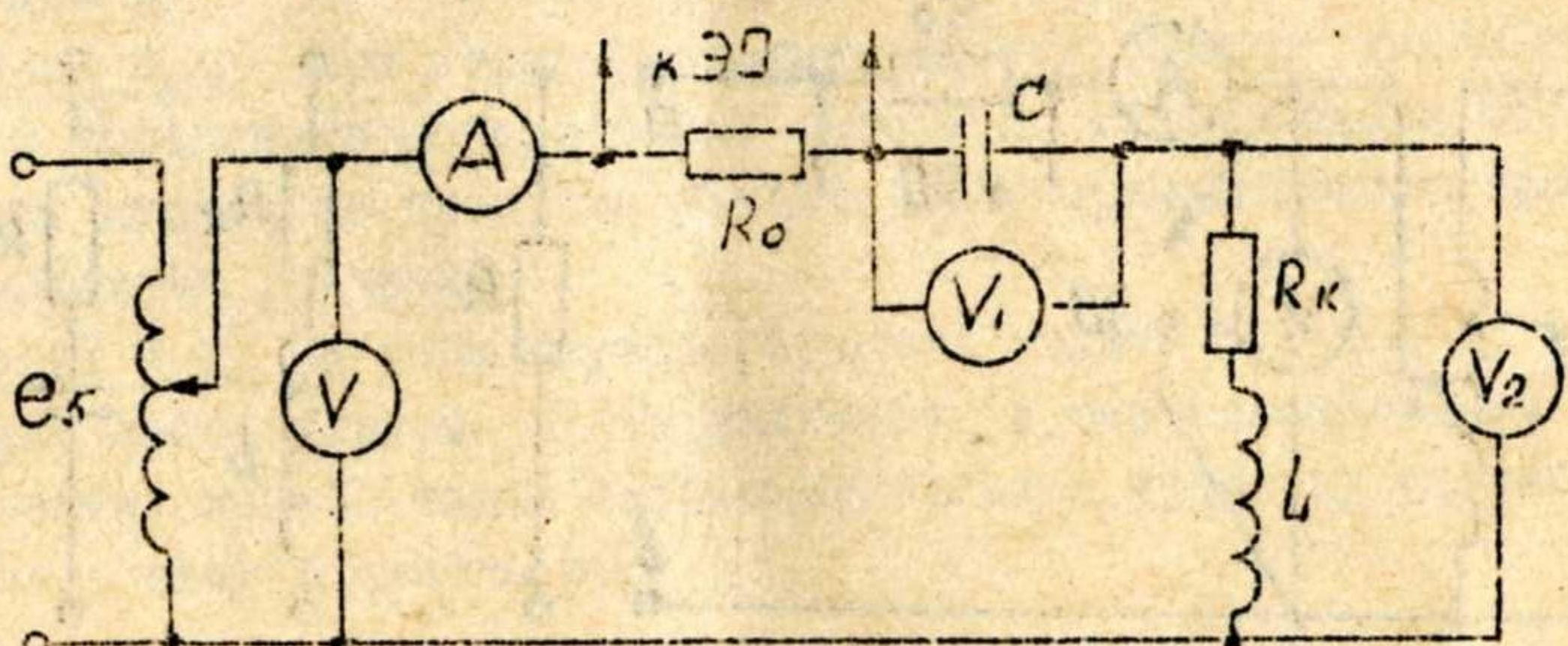


Рис. 17.

Таблица 7

U	I	U_K	U_C	C	Наименование осциллограммы кривой тока при резонансе I-й гармоники
V	A	V	V	μF	

7. Устанавливают резонансное значение емкости для I-й гармоники. При неизменном входном напряжении записывают показания приборов и снимают осциллограмму тока.

8. Уменьшают емкость конденсатора таким образом, чтобы записать показания приборов не менее, чем в 2...3 точках между максимальными и минимальными значениями тока I в цепи, обязательно произведя измерения для всех резонансных значений емкости. Для всех резонансных режимов снимают осциллограммы тока.

9. По результатам эксперимента п. 2 программы строят зависимость $I = F(C)$.

Содержание отчета

- Схемы электрических цепей с измерительными приборами.
- Таблицы 5, 6, 7 расчетных и опытных данных.
- Осциллограммы напряжений и токов.
- График зависимости $I = F(C)$.
- Технические данные используемых приборов.
- Выходы по работе.

ЛАБОРАТОРНАЯ РАБОТА 8.2

Программа работы:

1. Экспериментально проверить результаты расчета электрической цепи рис. 13.

2. Исследовать резонансные явления в цепи с последовательным соединением катушки индуктивности и конденсатора при несинусоидальном токе.

3. Определить влияние параметров электрической цепи на форму кривой тока при несинусоидальном напряжении.

Указания по подготовке к лабораторной работе.

1. К лабораторному занятию необходимо рассчитать электрическую цепь рис. 13. Результаты расчета занести в табл. 8 на бланке отчета по лабораторной работе.

2. При подготовке к лабораторной работе в бланк отчета занести также таблицы 5, 6, 7 и схему электрической цепи рис. 16.

3. На бланке отчета начертить схему электрической цепи Рис. 17, включив в нее ваттметр для измерения активной мощности цепи.

ТЕМЫ ИССЛЕДОВАТЕЛЬСКОЙ РАБОТЫ СТУДЕНТОВ (УИРС, НИРС)

Таблица 8

Способ определения	<i>U</i>	<i>U_R</i>	<i>U_K</i>	<i>U_C</i>	<i>I</i>	<i>P</i>	Емкость <i>C</i> при резонансе для гармоники <i>K</i> = , мкФ
	В	В	В	В	А	Вт	
Расчет							
Опыт							

4. Выполнить указание 1 по подготовке к лабораторной работе 8.1.

Указания по выполнению лабораторной работы.

1. Для выполнения п. 1 программы собирают электрическую цепь рис. 17 с включенным в нее ваттметром для измерения активной мощности цепи.

2. Устанавливают сопротивление $R_0 = R$ и емкость конденсатора C в соответствии с заданием 8.2 одного из членов бригады. С помощью ЛАТРа устанавливается входное напряжение U , равное расчетному значению, и записываются показания приборов в табл. 8.

3. Подключив вход осциллографа параллельно сопротивлению R_0 , снимается осциллограмма напряжения U_R . Сравнивается экспериментальная и расчетная кривые U_R .

4. Устанавливается значение емкости другого члена бригады и в указанной выше последовательности производятся измерения.

5. Устанавливается сопротивление $R_0 = 10 \Omega$ и выполняется п. 2 программы в соответствии с указаниями 5...9 лабораторной работы 8.1.

6. Для выполнения п. 3 программы собирают электрическую цепь рис. 16 и далее руководствуются указаниями 2...4 лабораторной работы 8.1.

Содержание отчета

1. Расчет электрической цепи рис. 13.
2. Схемы электрических цепей с измерительными приборами.
3. Таблицы 5, 6, 7, 8 расчетных и опытных данных.
4. Осциллограммы напряжений и токов.
5. График зависимости $I = F(C)$.
6. Технические данные используемых приборов.
7. Выводы по работе.

- I. Исследование кривых напряжения и тока в электрических цепях с полупроводниковыми выпрямителями:
 - I.1. однополупериодное выпрямление;
 - I.2. двухполупериодное выпрямление;
 - I.3. трехфазная мостовая схема выпрямления.
2. Исследование формы кривой напряжения при изменении угла отпирания тиристоров.
3. Исследование формы кривой тока в цепях с люминесцентными лампами.
4. Исследование формы кривых тока и напряжения в цепях с катушкой индуктивности с ферромагнитным сердечником.
5. Мощность искажения.
6. Исследование частотных электрических фильтров.

ВОПРОСЫ ДЛЯ САМОПРОВЕРКИ

1. Какова форма кривой тока в цепи, если его мгновенное значение определяется как сумма трех гармонических составляющих одинаковой частоты?
2. Способы разложения несинусоидальных напряжений и токов в ряд Фурье.
3. Что называется коэффициентами формы, амплитуды и искажения несинусоидального напряжения?
4. Какие гармонические составляющие содержит кривая напряжения, симметричная относительно оси абсцисс; математическое условие симметрии кривой?
5. Какие гармонические составляющие содержит кривая напряжения, симметричная относительно оси ординат; математическое условие симметрии кривой?
6. Какие гармонические составляющие содержит кривая напряжения, симметричная относительно начала координат; математическое условие симметрии кривой?
7. Чему равно действующее значение несинусоидального напряжения или тока?
8. Как определить активную мощность однофазной цепи при несинусоидальных напряжениях и токах?
9. Сущность метода расчета однофазной цепи при несинусоидальном напряжении.
10. Какова форма кривой тока в однофазной цепи с резистором?

тором при несинусоидальном напряжении?

11. Каковы формы кривой тока и напряжения в цепи с индуктивностью при несинусоидальном напряжении?

12. Каковы формы кривой тока и напряжения в цепи с емкостью при несинусоидальном напряжении?

13. Резонансные явления в однофазной цепи при несинусоидальном напряжении.

14. Условие резонанса напряжений для К-ой гармоники.

15. Изобразите схему частотного фильтра, основанного на резонансе напряжений.

16. Изобразите схему частотного фильтра, основанного на резонансе токов.

17. Какие гармоники в трехфазной цепи создают системы прямой последовательности?

18. Какие гармоники в трехфазной цепи создают системы обратной последовательности?

19. Какие гармоники в трехфазной цепи создают системы нулевой последовательности?

20. В каких случаях в трехфазной цепи отношение линейного напряжения к фазному меньше $\sqrt{3}$?

21. Почему линейные напряжения трехфазной системы не содержат гармоники, кратные 3?

22. Чему равен ток в обмотках трехфазного генератора (трансформатора), соединенного в треугольник, при ступенчатой нагрузке, если в системе его фазных напряжений содержатся 3, 6 и 9 гармоники?

23. Симметричные трехфазные генератор и электроприемник соединены в звезду с нулевым проводом. Система фазных напряжений генератора содержит 1, 3, 5, 6, 7 гармоники. Какие гармоники будет содержать ток в нулевом проводе?

24. Условие то же, что и в вопросе 23, только оборван нулевой провод. Какие гармоники будет содержать напряжение междунейтральными точками генератора и приемника?

ОТВЕТЫ К КОНТРОЛЬНЫМ ЗАДАЧАМ

Задача 4. $u = \frac{400}{\pi} (\sin 314t + \frac{1}{3} \sin 3 \cdot 314t + \frac{1}{5} \sin 5 \cdot 314t + \dots) \text{ В.}$

Задача 5. 1. $C_1 \approx 17,78 \text{ мкФ}; C_2 \approx 2,22 \text{ мкФ}.$

2. $i_1 = 0,4 \sin 5000t \text{ А};$
 $i_2 = (-0,05 \sin 5000t + 0,333 \cos 15000t) \text{ А};$
 $i_3 = (0,45 \sin 5000t - 0,333 \cos 15000t) \text{ А};$
 $U_{AB} = (4,5 \cos 5000t + 10 \sin 15000t) \text{ В.}$

3. $I_1 = 0,283 \text{ А}; I_2 = 0,298 \text{ А}; I_3 = 0,396 \text{ А};$
 $U_{AB} = 7,75 \text{ В}; P = 4 \text{ Вт.}$

Задача 6. $i_1 = [2,5 + 0,983 \sqrt{2} \sin(\omega_1 t - 31,6^\circ)] \text{ А};$
 $i_2 = 0,232 \sqrt{2} \sin(\omega_1 t - 166,6^\circ) \text{ А.}$

Задача 7. $U_2 = U_A = 229,13 \text{ В}; U_1 = U_{CA} = 357,1 \text{ В};$
 $I_1 = I_A = 12,37 \text{ А}; I_2 = I_{AB} = 7,14 \text{ А.}$

УЧЕБНИКИ И УЧЕБНЫЕ ПОСОБИЯ

1. Г.В.Зевеке и др. Теоретические основы электротехники.
2. Л.А.Бессонов. Теоретические основы электротехники.
3. Конспект лекций.

Типография ЛСХИ. Подписано к печати 25.07.90

Тираж 400 экз. Заказ №999рп

Бесплатно.